

鋼管矢板井筒を用いた橋脚の載荷試験

斎藤二郎
芳賀孝成
上野孝之

概要

重量構造物の基礎として、井筒基礎、ケーソン基礎のかわりに鋼管矢板井筒基礎が用いられるようになってきた。この基礎形式で、支持力および地震時の水平抵抗がケーソン基礎に劣らないことが多方面で模型実験によって確められている。しかし、この鋼管矢板井筒基礎の有効性を確認するには、最終的には実物の基礎における支持力機構を明らかにすることが重要である。そこで、本報文は、橋梁下部構造として、鋼管矢板井筒基礎工法によって施工された二つの橋脚の、静的載荷試験、ならびに振動試験の方法および試験結果について述べ、さらに試験方法と、試験によって明らかにされた鋼管矢板井筒基礎の有効性と問題点について述べたものである。結果として、多少の問題はあるが、鋼管矢板井筒基礎はケーソン等鉄筋コンクリート造の基礎に比べて剛性、振動特性において劣るものではないことが確認された。

1. まえがき

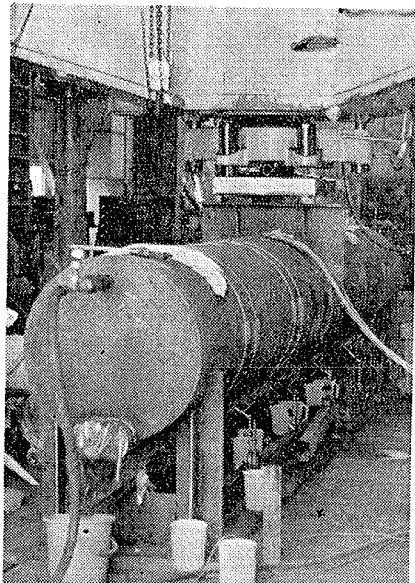
クイ基礎などでは鉛直支持力や地震時の水平抵抗が不足する場合、あるいは、軟弱地盤とか水上工事において、クイ打ち、開削等に不安のある場合にはケーソン基礎が適している。しかし、この基礎は、施工法においていくつかの問題点を持っている。すなわち、人力掘削による施工能率の低下、周辺地盤および既設構造物に与える沈下の影響、ガス中毒、潜函病、その他の事故、深さに対する施工限界等が挙げられる。以上の問題の解決策の一つとして、基礎の施工の機械化が要求されており、この要求に応じたものとして近年になって鋼管矢板井筒工法が考えられ、橋梁基礎として採用されるようになった。

ここで、鋼管矢板井筒基礎というのは、継手を持った鋼管矢板を連続的に円形、長方形、あるいは小判形等の閉鎖状に打ち込んだものであり、継手によって全部の鋼管が一体となって井筒の機能が発揮されるようにしたのである。また必要に応じて井筒内部の土を掘削して補強を施し、基礎の剛性を高めるなりさらに鋼管矢板を仮締切に兼用するような工法も考えられる。

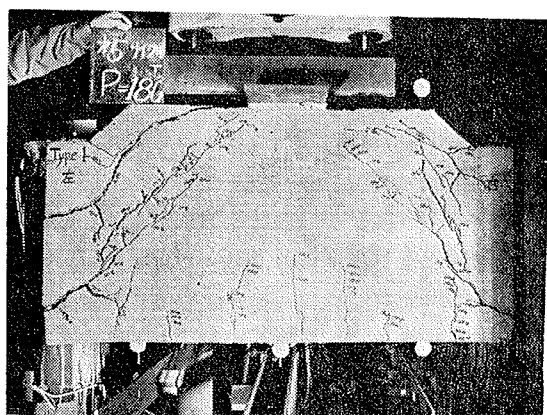
この鋼管矢板井筒基礎の実用化に際しては次のような問題点を解決する必要がある。すなわち

- ・井筒基礎の剛性、振動性状
- ・矢板間の継手効率
- ・フーチングと矢板の接合方法
- ・遮水効果
- ・鋼管矢板と填充コンクリートとの一体性

これらの問題点を解決するために、これまで種々の模型実験、例えば水平抵抗についての静的ならびに振



写真一 水密性実験



写真二 フーチングと矢板接合部の強度試験

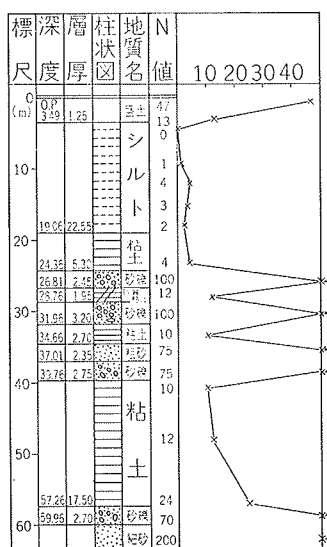
動実験、遮水効果を検討するための水密性実験（写真

—1) フーチングと矢板接合部の強度試験(写真—2)等が行われてきた。このような基礎実験から、钢管矢板井筒基礎の有効性がある程度認められ、この基礎工法による橋脚基礎が施行されるに至った。そこで実際の钢管矢板井筒基礎の剛性、振動性状を把握するためには、これまで2ヶ所で静的ならびに動的な現場載荷試験が実施されてきたのでその試験方法と試験結果について述べる。

2. 現場載荷試験例 その1

2.1. 概要

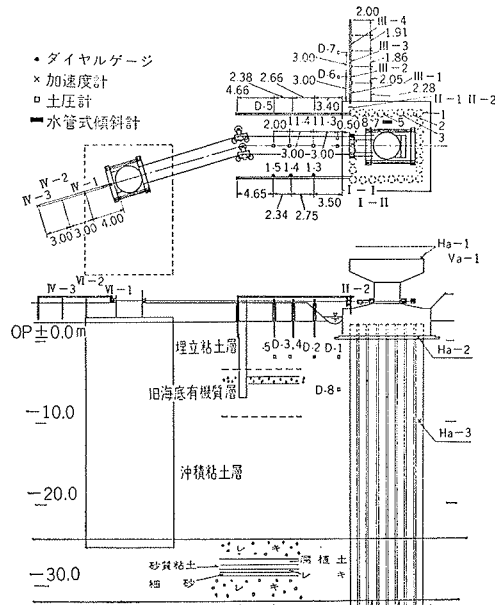
載荷試験の実施された橋脚は、大阪市の某埋立地に施工されたものである。土質条件は図—1の土質柱状図に示すように、上部から埋立土、沖積粘土層、上部洪積砂層、洪積粘土層および下部洪積砂層の5層に大別される。ここで施工された钢管矢板井筒基礎は、直径914mmの钢管28本を矩形に連続して下部洪積砂層まで打設したものである。この橋脚において、静的水平載荷試験ならびに自由振動試験を行なった。写真—3に載荷試験の全景を示す。



図—1 土質柱状図

ッキ2台を使用し、既設の道路橋の橋脚をアンカーとして反力を取り、ストランドケーブルによって試験橋脚に加力した。

2.2.2. 計測方法 鋼管矢板井筒天端および周辺地盤の表面変位はダイヤルゲージによって測定した。測定要領は、L形鋼を数本地盤に打込み、これにI形鋼の梁を渡して一端を固定し、中間および他端は自由とし、L形鋼のクイとI形鋼の梁との相対変位量を測定するものである。また水管式傾斜計により、フーチング天端の回転角を測定した。橋脚が変位することにより、地盤内の土圧が変化することが考えられるので、土中土圧計により井筒周辺地盤内の土圧分布を測定した。井筒を構成している各钢管矢板のヒズミ分布はワイヤストレンジゲージ、およびロゼットゲージで測定した。なお、計測位置は図—2に示している。

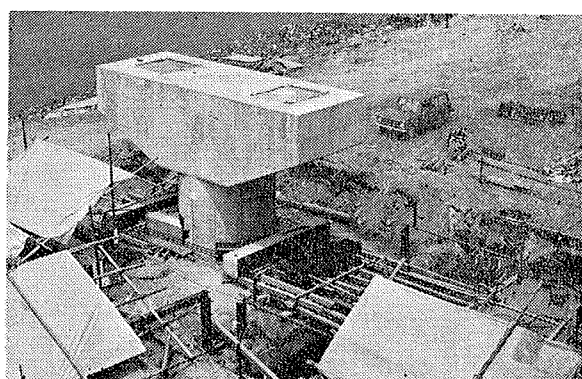


図—2 計測位置図

2.3. 振動試験

2.3.1. 起振方法 静的水平載荷試験の場合と同様にして所定の荷重まで加力した後、ストランドケーブルと加力装置の接続部を瞬間に切断して橋脚に自由振動を与えた。切断装置は写真—4に示すようなもので、接続部に鉄製の治具を取り付け、鉄板をガイドに沿って落下させて治具を切断するものである。切断時の載荷重は40, 50, 60, 80, 100tとした。

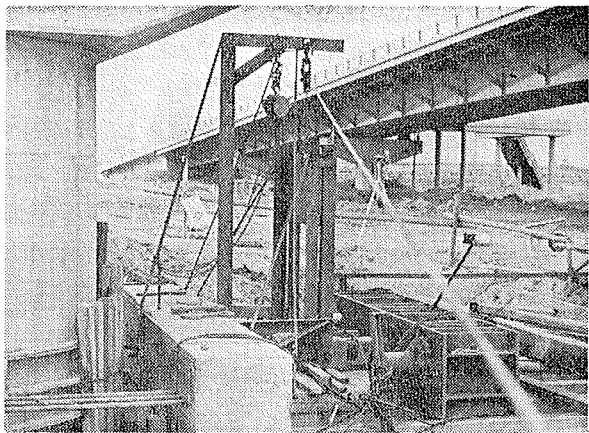
2.3.2. 計測方法 振動時の钢管のヒズミはオシロレコーダーで記録した。また加速度計により、垂直および水平方向の加速度をデーターレコーダーに集録した。最大荷重時の周辺地盤およびフーチング天端の変位量の測定は、静的載荷試験の場合と同様である。



写真—3 載荷試験全景

2.2. 静的載荷試験

2.2.1. 載荷方法 載荷は、一方向多サイクル緩速載荷および急速載荷とした。また載荷サイクルは3回とし、最大荷重は300tとした。加力は200tの油圧ジャ



写真一4 切断装置

2.4. 試験結果と考察

図-3はフーチング天端変位と荷重の関係について実測値と理論値を比較したものである。理論値は、無限長梁に対する式を用いて計算した。この図から、鋼管矢板井筒の剛性は、かなり高く、剛体に近いことが考えられる。また変位量が大きくなると、実測値は理論値における継手効率 μ の小さい値に近づき剛性が低下しているように見えるが、これは変位が大きくなると実際の横方向地盤反力係数が小さくなるためと思われる。図-4は鋼管矢板のヒズミ分布を示したものであ

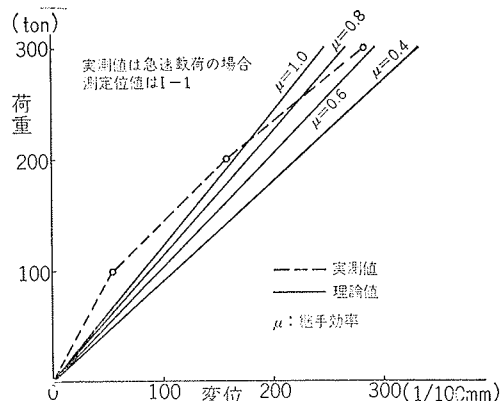


図-3 荷重フーチング天端変位曲線

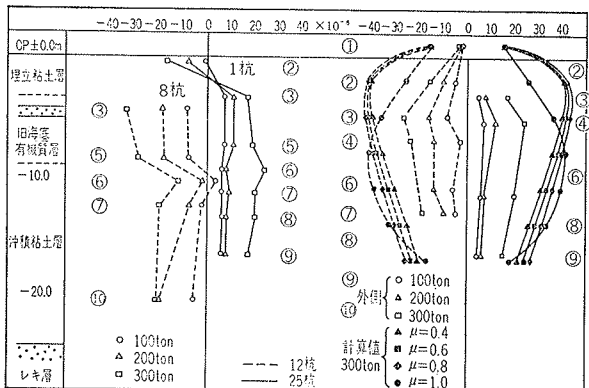


図-4 鋼管矢板ヒズミ分布

るが、これも理論値に比べて実測値が小さく、鋼管矢板井筒の剛性が高いことを示している。また鋼管矢板天端近くでヒズミが零くなっている。これはフーチングと鋼管矢板との接合部が塑性ヒンジ状態になっているためと思われる。フーチング天端の傾斜角は300ton、載荷時で約1°40'であった。表-1は、振動試験の各測定点における水平および鉛直方向の加速度、変位をまとめたものであるが、鋼管矢板天端とフーチング天端で、変位は等しいが、加速度および周期が異っている。このことから、接合部が弱点となって、両者が別々の動きをしているのではないかということが考えられる。

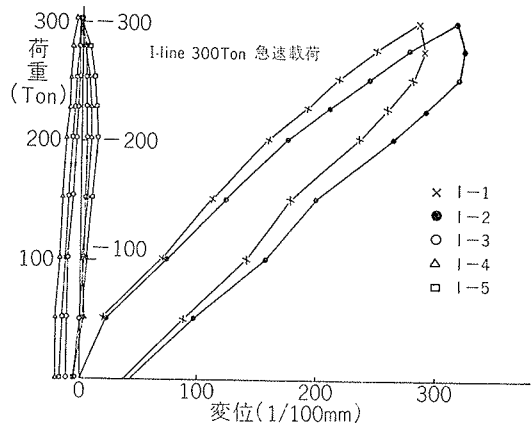


図-5 地盤および橋脚の荷重-変位履歴曲線

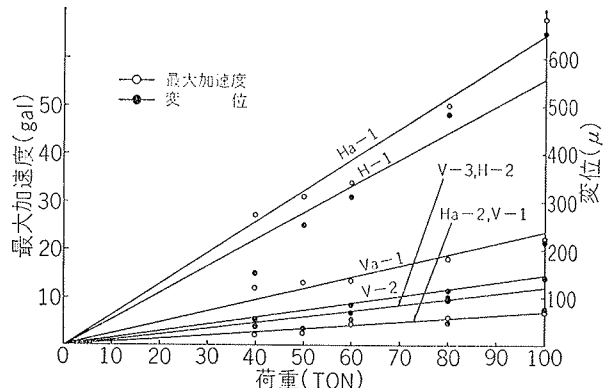


図-6 橋脚加速度測定一覧表

3. 現場載荷試験例 その2

3.1. 概要

利根川下流にかかる本橋梁の12基の橋脚のうち1基が鋼管矢板井筒基礎工法によって施工された。この鋼管矢板井筒基礎が採用された理由は、まず地盤条件によるものである。すなわち、土質柱状図(図-6)に示すように、軟弱層が深いため、ケーソンでは工事費と工期に問題があること、また鉛直および水平耐力はケーソン等と同程度のものが期待できるということである。

この基礎は、水上で施工され、井筒は円形に連続して打込まれた20本の鋼管矢板から構成されている。鋼管矢板の直径は1016mm長さは50mである。この鋼管矢板井筒基礎による橋脚に対して静的な水平載荷試験、強制振動試験を実施した。写真-5は載荷試験の全景を示し、流水中にあるのが試験橋脚である。

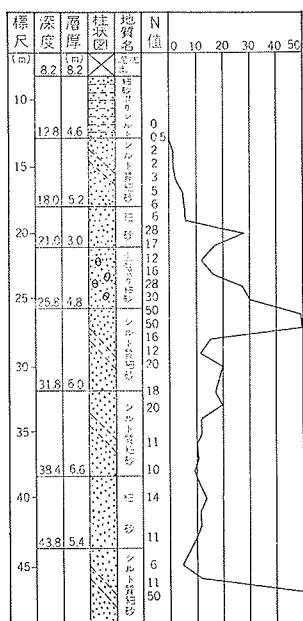


図-7 土質柱状図

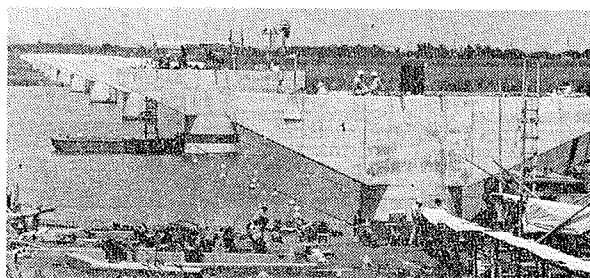


写真-5 載荷試験全景

3.2. 静的載荷試験

3.2.1. 載荷方法 載荷方法は一方向緩速載荷とし、荷重段階は4サイクルとした。また第3、第4サイクルでは除荷途中で繰返し急速載荷を行った。載荷時間は、各載荷重に対する変位がほぼ零になった時、次の荷重に移るものとした。ニューマチックケーソン基礎による橋脚を反力として、加力はPCストランドケーブルとジャッキによって行った。ジャッキは150TONセンターホール型を2台使用した。

3.2.2. 計測方法 計測は鋼管矢板井筒基礎橋脚(P_1 橋脚)と、ケーソン基礎橋脚(P_2 橋脚)についてそれぞれ行った。 P_1 橋脚の変位は逆振り式をわみ計、インバールワイヤー、セオドライトで測定し、 P_2 橋脚の変位はインバールワイヤー、ダイヤルゲージ、トランシットで測定した。鋼管矢板井筒の各鋼管のヒズミはワイヤーストレングージによって計測した。また、傾斜計(差動トランス型およびカールソン型)によって P_1 、 P_2 両橋脚の天端と柱部および P_1 橋脚のフーチングの傾斜角の測定を行った。なお、各測定器の設置位置を図-7に示す。

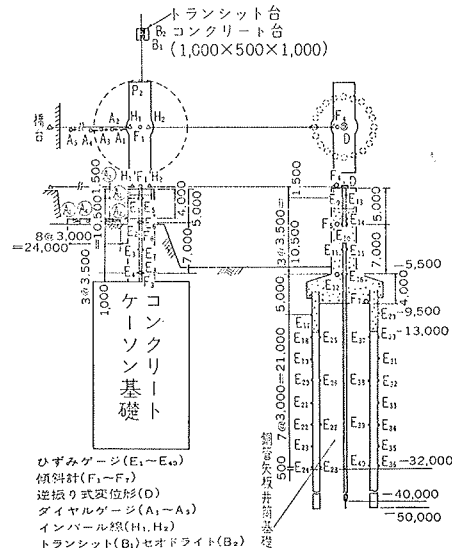


図-8 計測位置図

3.3. 振動試験

3.3.1. 起振方法 P_1 橋脚の天端に設置した40t型起振機によって、橋脚に強制振動を与えた。起振力は0~40tの範囲で、回転数を5~10rpmごと増減させた。振動試験の状況は写真-6で示している。またPARエアガンによって人工地震を起し、鋼管矢板井筒および周辺地盤の振動特性を記録した。このエアガンは水中に設置し、圧縮空気を急激に解放することによって振動を発生させるものでこの振動が水中を伝播して構造物および地盤に強制振動を与える。

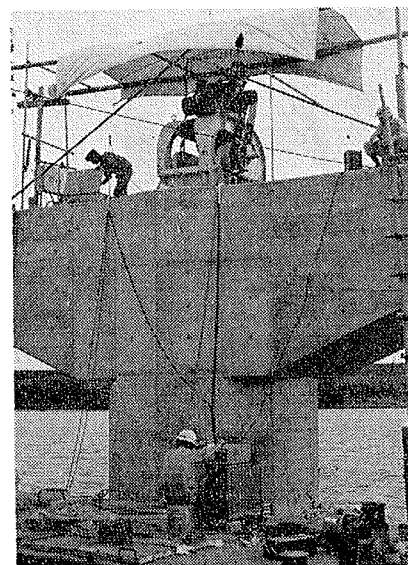
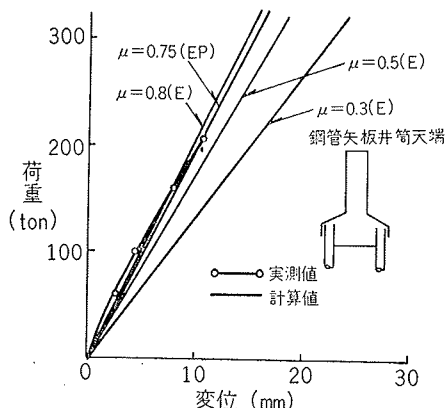


写真-6 振動試験状況

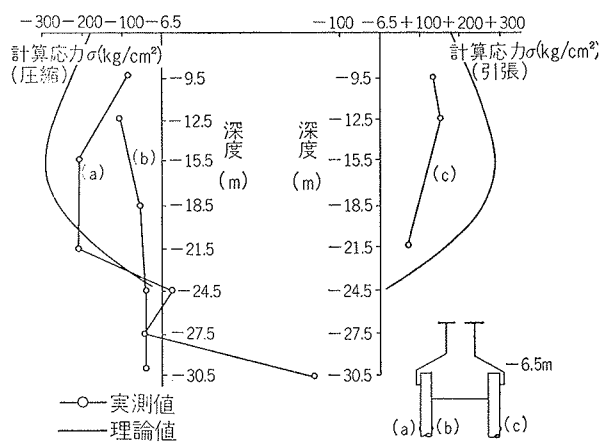
3.3.2. 計測方法 P_1 、 P_2 両橋脚に表面型加速度計、埋設型加速度計を設置した。また、河床地盤中には埋設型の加速度計を設置し、地盤の振動特性を電磁オシログラフで記録した。それぞれの計測位置は図-7に示している。

3.4. 試験結果と考察

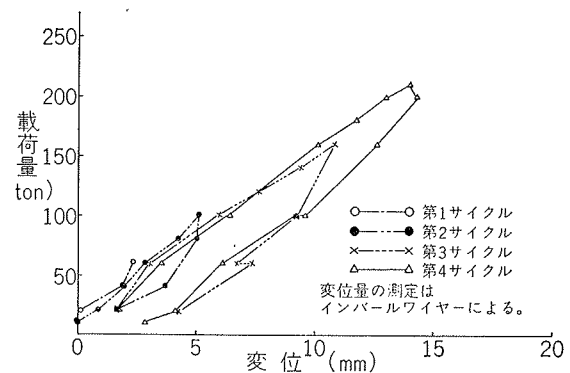
図一8はインバールワイヤーによるP₁橋脚の荷重～変位曲線であり、弾塑性設計法に基づいて行った理論曲線と対比させている。このグラフによると、継手効率 $\mu=0.75$ とした計算値と実測値がかなりよく対応している。また図一10はP₁橋脚の荷重～変位の履歴曲線を示したものであり、このヒステリシスから地盤も弾性挙動をしていることが予想される。図一9は鋼管矢板の応力分布を示しているが、計算応力と実測応力との相対的傾向はほぼ合致している。また実測値から鋼管矢板とフーチング接合部に塑性ヒンジが発生していることが考えられる。橋脚の傾斜角測定値から鋼管矢板はほぼ直線的な弾性挙動をしていると考えられる。P₁, P₂橋脚の天端の傾斜角は、水平荷重210tに対してそれぞれ $(4\sim9)\times10^{-5}$, $(31\sim34)\times10^{-5}$ ラジアンであった。振動試験については、図一11にその代表的なものだけを示したが、ここには明瞭な共振点が表されている。起振力が大きくなると減衰定数が大きくなるということから、減衰定数からみれば、鋼管矢板井筒基礎上の構造物は、耐震性ということでは有利であると考えられる。



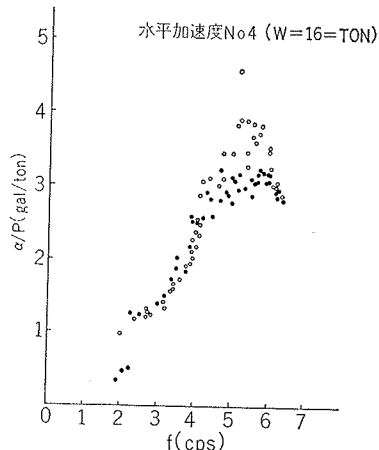
図一9 荷重～井筒天端変位曲線



図一10 鋼管矢板の応力分布



図一11 荷重～変位履歴曲線



図一12 共振曲線

4. あとがき

本報告で述べた二つの載荷実験から得られた結果は次のようなものである。

設計荷重に近い荷重範囲内では井筒天端変位の実測値は比較的小さい。したがって、理論計算において実測変位に等しく変位させるためには、鋼管矢板の継手効率は0.8～1.0の値をとらなくてはならない。このことから鋼管井筒の水平抵抗はケーソンと比較してほとんど変りないものと考えられる。

しかし、钢管に生じた応力は、钢管材料の許容応力に比して極めて小さい。また、フーチングと钢管矢板の接合部の応力は零に近いと推定され、ここに塑性ヒンジが生ずるのではないかということが考えられ、この点を改良する必要がある。振動試験の結果からは、減衰常数はケーソン基礎などよりも大きい。これを耐震性の見地から考えると钢管矢板井筒基礎が有利であるといえるであろう。

なお、変位の測定には各種あるが、載荷試験では最も重要であり、測定方法には十分な検討をする必要がある。

参考文献

钢管矢板井筒工法：川崎製鉄